

- [4] Р. В. Ведринский, В. Л. Крайzman. Изв. АН СССР, сер. физ., 40, 2420, 1976.
- [5] K. H. Johnson. Adv. quant. chem., 7, 143, 1973.
- [6] D. Dill, J. L. Dehmer. J. Chem. Phys., 61, 693, 1974.
- [7] Р. В. Ведринский, А. П. Ковтун, В. В. Колесников, Ю. Ф. Мигаль, Е. В. Положенцев, В. П. Саченко. Изв. АН СССР, сер. физ., 38, 434, 1974.
- [8] А. А. Павлычев, А. С. Виноградов, Д. Е. Онопко, С. А. Титов. ФТТ, 20, 3672, 1978.

Поступило в Редакцию 21 июля 1978 г.

УДК 535.375 : 548.0

## О ЗАВИСИМОСТИ ИНТЕНСИВНОСТЕЙ ЛИНИЙ КОМБИНАЦИОННОГО РАССЕЯНИЯ СВЕТА МАЛЫХ ЧАСТОТ ОТ ОРИЕНТАЦИИ МОЛЕКУЛ В КРИСТАЛЛИЧЕСКОЙ РЕШЕТКЕ

*A. B. Коршунов и Л. И. Мамизерова*

В предыдущей работе [1], посвященной исследованию спектров малых частот кристаллов с одной молекулой в ячейке, было показано влияние индивидуальных особенностей молекул на интенсивности вращательных качаний молекул. Согласно формуле

$$I_{(L)} = \text{const} \frac{\hbar}{8\pi^2 \gamma_k J_L} (\alpha_M - \alpha_N)^2 \frac{1}{\frac{h\nu_k}{kT}} A,$$

интенсивность малых частот зависит от строения молекулы (их оптической анизотропии, моментов инерции и др.). Целью настоящей работы является изучение зависимости интенсивностей от ориентационного множителя  $A$ , численные значения которого зависят от ориентации молекулы в кристалле.

В качестве объекта исследования был выбран кристалл резорцина. Резорцин исследовался в двух модификациях:  $\alpha$ -форме при 293 К и  $\beta$ -форме при 347 К. Оба кристалла образованы из одинаковых молекул  $\mu\text{-C}_6\text{H}_4(\text{OH})_2$ , относятся к одной пространственной группе симметрии  $C_{2h}^0$ , содержат по четыре молекулы в ячейке, но отличаются строением сеток водородных связей, а также ориентацией молекул в кристаллической решетке, согласно [2]. Молекула резорцина имеет некоторый дипольный момент. Поэтому для решетки этого вещества характерно добавочное дипольное взаимодействие, которое отсутствует в кристаллах, образованных из центросимметрических молекул (бензол, нафталин, дурол и др.), исследованных нами ранее [3].

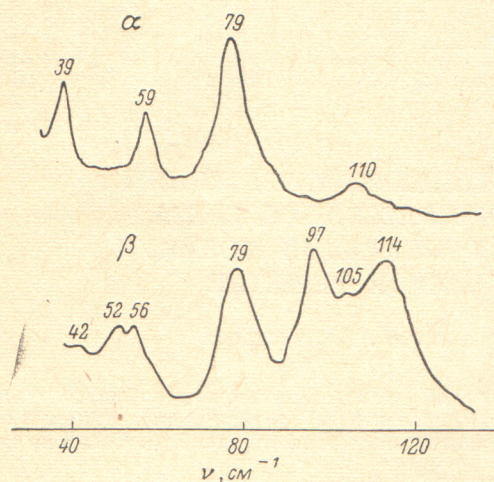
Более того упаковка в кристалле резорцина определяется прочными водородными связями, о влиянии которых на спектры малых частот мало известно. По правилам отбора в спектре рассеяния резорцина следует ожидать появление 12 вращательных и 9 трансляционных частот. На рисунке приведены спектры кристаллов  $\alpha$ - и  $\beta$ -форм резорцина с указанием значений наблюдаемых частот. В таблице показаны результаты

| $\alpha$ -форма        |           |                    | $\beta$ -форма         |           |                    |
|------------------------|-----------|--------------------|------------------------|-----------|--------------------|
| $\nu, \text{ см}^{-1}$ | симметрия | $I_{\text{расч.}}$ | $\nu, \text{ см}^{-1}$ | симметрия | $I_{\text{расч.}}$ |
| 39                     | (Tp.)     | —                  | 42                     | (Tp.)     | —                  |
| 59                     | $A_1(N)$  | 10                 | 52                     | $A_1(N)$  | 9                  |
| 59*                    | $A_2(N)$  | 1                  | 52*                    | $A_2(N)$  | 4                  |
| 59*                    | $B_1(N)$  | 8                  | 56                     | $B_1(N)$  | 2                  |
| 59*                    | $B_2(N)$  | 13                 | 56*                    | $B_2(N)$  | 8                  |
| 79                     | $A_1(M)$  | 100                | 79                     | $A_1(M)$  | 25                 |
| 79*                    | $A_2(M)$  | 2                  | 79*                    | $A_2(M)$  | 100                |
| 79*                    | $B_1(M)$  | 25                 | 79*                    | $B_1(M)$  | 6                  |
| 79*                    | $B_2(M)$  | 5                  | 97                     | $B_2(M)$  | 50                 |
| 110                    | $A_1(L)$  | 23                 | 105                    | $B_2(L)$  | 12                 |
| 110*                   | $A_2(L)$  | 9                  | 105*                   | $B_1(L)$  | 3                  |
| 110*                   | $B_1(L)$  | 2                  | 114                    | $A_1(L)$  | 99                 |
| 110*                   | $B_2(L)$  | 10                 | 114*                   | $A_2(L)$  | 4                  |

расчета интенсивностей по приведенной формуле. Расчет ориентационных множителей проводился по формулам, имеющимся в [3]. При отнесении частот по моментам инерции ( $N$ ,  $M$ ,  $L$  — соответственно оси с наибольшим, средним и наименьшим моментом инерции) и установлении симметрии колебания использовались данные поляризованных спектров монокристаллов  $\alpha$ - и  $\beta$ -форм резорцина [4]. Поляризационные измерения показали также, что ряд колебаний имеют практически совпадающие по значению частоты. Эти колебания и некоторые частоты, отсутствующие в спектре, отмечены в таблице звездочками.

В обоих спектрах резорцина наблюдается меньшее число частот по сравнению с ожидаемым по правилам отбора. В спектре  $\alpha$ -формы резорцина имеется практически одна очень интенсивная линия  $79 \text{ см}^{-1}$ , хотя данная молекула является достаточно анизотропной. Слабая интенсивность остальных линий в спектре объясняется малыми значениями ориентационных множителей. По этой причине ряд линий вращательных колебаний молекул имеют малые расчетные значения интенсивностей, вследствие чего некоторые линии могут не наблюдаться в спектре.

В  $\beta$ -форме резорцина меняется ориентация молекулы в элементарной ячейке, что влечет изменение



Спектры КР резорцина  $\alpha$ -формы ( $\alpha$ ) при  $T=293$  К и  $\beta$ -формы ( $\beta$ ) при  $T=347$  К.

ориентационных множителей, а следовательно, и интенсивностей соответствующих колебаний. Интересно отметить, что значения наблюдаемых частот в обеих модификациях очень близки и поэтому мало влияют на изменение интенсивностей. Можно считать, что и поляризуемость молекулы сохраняется при переходе резорцина из  $\alpha$ - в  $\beta$ -форму. Расчет, проведенный при данных предположениях, показывает, что в спектре  $\beta$ -формы резорцина должны наблюдаться три наиболее интенсивные линии  $79$ ,  $97$  и  $114 \text{ см}^{-1}$ , что находится в согласии с экспериментальными данными. Слабая интенсивность остальных вращательных частот объясняется малыми значениями ориентационных множителей.

Таким образом, различные распределения интенсивностей в спектрах  $\alpha$ - и  $\beta$ -форм резорцина объясняются в основном изменением ориентации молекулы при переходе кристалла из одной модификации в другую, что указывает на связь интенсивностей малых частот вращательных качаний со структурными факторами решетки.

В заключение авторы выражают благодарность П. М. Минееву за предоставленный спектр  $\beta$ -формы резорцина.

#### Литература

- [1] А. В. Коршунов, Л. И. Мамизерова. Опт. и спектр., 42, 778, 1977.
- [2] А. И. Китайгородский. Органическая кристаллохимия. Изд. АН СССР, М., 1955.
- [3] А. В. Коршунов, Л. И. Мамизерова. Опт. и спектр., 24, 417, 1970; 31, 834, 1971; 33, 1008, 1972.
- [4] D. Penot, J.-P. Mathieu. J. Chem. Phys. et phys. chim. biol., 52, 829, 1955.

Поступило в Редакцию 28 июня 1978 г.

УДК 535.375

## ПРЯМОЕ ИЗМЕРЕНИЕ С ВЫСОКИМ СПЕКТРАЛЬНЫМ РАЗРЕШЕНИЕМ ФОРМЫ ЛИНИИ КОМБИНАЦИОННОГО РАССЕЯНИЯ СВЕТА В ЖИДКОМ АЗОТЕ

Ф. Н. Гаджиев, Н. И. Коротеев, Р. Ю. Орлов и И. Л. Шумай

1. Когерентная активная спектроскопия комбинационного рассеяния света (АСКР) существенно повышает спектральное разрешение по сравнению со спонтанным КР [1-4]. Спектральное разрешение, достигаемое в методе АСКР, определяется шириной линии наименее монохроматичного из когерентных источников накачки.